Eingabe: Farbmetrisches Fernseh-Licht-System TLS18

für Buntton *h* = lab*h = 35/360 = 0.097*
*lab*tch* und *lab*nch*

D65: Buntton O
LCH*Ma: 53 87 35
olv*Ma: 1.0 0.0 0.0

Dreiecks-Helligkeit *t**

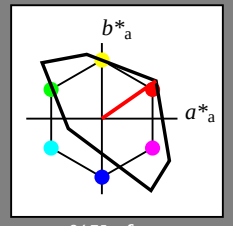

%Umfang

u*$_{rel}$ = 118

TLS18; adaptierte CIELAB-Daten

	$L^*=L^*_a$	a^*_a	b^*_a	$C^*_{ab,a}$	$h^*_{ab,a}$
O_{Ma}	52.76	71.63	49.88	87.29	35
Y_{Ma}	92.74	−20.02	84.97	87.3	103
L_{Ma}	84.0	−78.98	73.94	108.2	137
C_{Ma}	87.14	−44.41	−13.11	46.32	196
V_{Ma}	35.47	64.92	−95.06	115.12	304
M_{Ma}	59.01	89.33	−55.67	105.26	328
N_{Ma}	18.01	0.0	0.0	0.0	0
W_{Ma}	95.41	0.0	0.0	0.0	0
R_{CIE}	39.92	58.74	27.99	65.07	25
J_{CIE}	81.26	−2.88	71.56	71.62	92
G_{CIE}	52.23	−42.41	13.6	44.55	162
B_{CIE}	30.57	1.41	−46.46	46.49	272

%Regularität

g*$_{H,rel}$ = 22

g*$_{C,rel}$ = 40

1,00
0,75
0,25
0,00

n* = 0,00
n* = 0,25
n* = 0,50
n* = 1,0

0,25 0,50 0,75 1,00

Schwarzheit *n**

relative Buntheit *c**

Ausgabe: Farbmetrisches Fernseh-Licht-System TLS18

für Buntton *h* = lab*h = 35/360 = 0.097*
*lab*tch* und *lab*nch*

D65: Buntton O
LCH*Ma: 53 87 35
olv*Ma: 1.0 0.0 0.0

Dreiecks-Helligkeit *t**

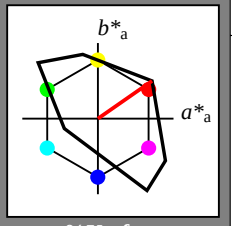

%Umfang

u*$_{rel}$ = 118

TLS18; adaptierte CIELAB-Daten

	$L^*=L^*_a$	a^*_a	b^*_a	$C^*_{ab,a}$	$h^*_{ab,a}$
O_{Ma}	52.76	71.63	49.88	87.29	35
Y_{Ma}	92.74	−20.02	84.97	87.3	103
L_{Ma}	84.0	−78.98	73.94	108.2	137
C_{Ma}	87.14	−44.41	−13.11	46.32	196
V_{Ma}	35.47	64.92	−95.06	115.12	304
M_{Ma}	59.01	89.33	−55.67	105.26	328
N_{Ma}	18.01	0.0	0.0	0.0	0
W_{Ma}	95.41	0.0	0.0	0.0	0
R_{CIE}	39.92	58.74	27.99	65.07	25
J_{CIE}	81.26	−2.88	71.56	71.62	92
G_{CIE}	52.23	−42.41	13.6	44.55	162
B_{CIE}	30.57	1.41	−46.46	46.49	272

%Regularität

g*$_{H,rel}$ = 22

g*$_{C,rel}$ = 40

1,00
0,75
0,25
0,00

n* = 0,00
n* = 0,25
n* = 0,50
n* = 1,0

0,25 0,50 0,75 1,00

Schwarzheit *n**

relative Buntheit *c**

NG590−7, 5 stufige Reihen für konstanten CIELAB Buntton 35/360 = 0.097 (links)

5 stufige Reihen für konstanten CIELAB Buntton 35/360 = 0.097 (rechts)

Eingabe: Farbmetrisches Fernseh-Licht-System TLS18

für Buntton *h* = lab*h = 103/360 = 0.287*
*lab*tch* und *lab*nch*

D65: Buntton Y
LCH*Ma: 93 87 103
olv*Ma: 1.0 1.0 0.0

Dreiecks-Helligkeit *t**

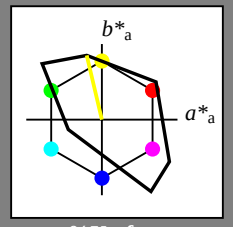

%Umfang
u*rel = 118

TLS18; adaptierte CIELAB-Daten

	L*=L*a	a*a	b*a	C*ab,a	h*ab,a
O_{Ma}	52.76	71.63	49.88	87.29	35
Y_{Ma}	92.74	−20.02	84.97	87.3	103
L_{Ma}	84.0	−78.98	73.94	108.2	137
C_{Ma}	87.14	−44.41	−13.11	46.32	196
V_{Ma}	35.47	64.92	−95.06	115.12	304
M_{Ma}	59.01	89.33	−55.67	105.26	328
N_{Ma}	18.01	0.0	0.0	0.0	0
W_{Ma}	95.41	0.0	0.0	0.0	0
R_{CIE}	39.92	58.74	27.99	65.07	25
J_{CIE}	81.26	−2.88	71.56	71.62	92
G_{CIE}	52.23	−42.41	13.6	44.55	162
B_{CIE}	30.57	1.41	−46.46	46.49	272

%Regularität
g*H,rel = 22
g*C,rel = 40

1,00
0,75
0,25
0,00

n* = 0,00
n* = 0,25
n* = 0,50
n* = 1,0

Schwarzheit *n**

0,25 0,50 0,75 1,00

relative Buntheit *c**

Ausgabe: Farbmetrisches Fernseh-Licht-System TLS18

für Buntton *h* = lab*h = 103/360 = 0.287*
*lab*tch* und *lab*nch*

D65: Buntton Y
LCH*Ma: 93 87 103
olv*Ma: 1.0 1.0 0.0

Dreiecks-Helligkeit *t**

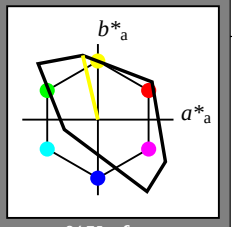

%Umfang
u*rel = 118

TLS18; adaptierte CIELAB-Daten

	L*=L*a	a*a	b*a	C*ab,a	h*ab,a
O_{Ma}	52.76	71.63	49.88	87.29	35
Y_{Ma}	92.74	−20.02	84.97	87.3	103
L_{Ma}	84.0	−78.98	73.94	108.2	137
C_{Ma}	87.14	−44.41	−13.11	46.32	196
V_{Ma}	35.47	64.92	−95.06	115.12	304
M_{Ma}	59.01	89.33	−55.67	105.26	328
N_{Ma}	18.01	0.0	0.0	0.0	0
W_{Ma}	95.41	0.0	0.0	0.0	0
R_{CIE}	39.92	58.74	27.99	65.07	25
J_{CIE}	81.26	−2.88	71.56	71.62	92
G_{CIE}	52.23	−42.41	13.6	44.55	162
B_{CIE}	30.57	1.41	−46.46	46.49	272

%Regularität
g*H,rel = 22
g*C,rel = 40

n* = 0,00
n* = 0,25
n* = 0,50
n* = 1,0

Schwarzheit *n**

0,25 0,50 0,75 1,00

relative Buntheit *c**

NG590−7, 5 stufige Reihen für konstanten CIELAB Buntton 103/360 = 0.287 (links)

5 stufige Reihen für konstanten CIELAB Buntton 103/360 = 0.287 (rechts)

BAM-Prüfvorlage NG59; Farbmetrik-Systeme ORS18 & ORS18 input: *olv* setrgbcolor*
D65: 2 Koordinatendaten; 5stufige Farbreihen für 10 Bunttöne output: *Startup (S) data dependend*

Eingabe: Farbmetrisches Fernseh-Licht-System TLS18

für Buntton *h* = lab*h = 137/360 = 0.38*
*lab*tch* und *lab*nch*

D65: Buntton L
LCH*Ma: 84 108 137
olv*Ma: 0.0 1.0 0.0

Dreiecks-Helligkeit *t**

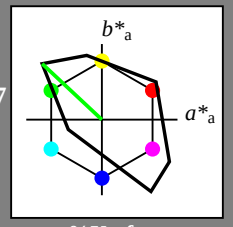

%Umfang
u*$_{rel}$ = 118

TLS18; adaptierte CIELAB-Daten

	L*=L*a	a*a	b*a	C*ab,a	h*ab,a
O_{Ma}	52.76	71.63	49.88	87.29	35
Y_{Ma}	92.74	−20.02	84.97	87.3	103
L_{Ma}	84.0	−78.98	73.94	108.2	137
C_{Ma}	87.14	−44.41	−13.11	46.32	196
V_{Ma}	35.47	64.92	−95.06	115.12	304
M_{Ma}	59.01	89.33	−55.67	105.26	328
N_{Ma}	18.01	0.0	0.0	0.0	0
W_{Ma}	95.41	0.0	0.0	0.0	0
R_{CIE}	39.92	58.74	27.99	65.07	25
J_{CIE}	81.26	−2.88	71.56	71.62	92
G_{CIE}	52.23	−42.41	13.6	44.55	162
B_{CIE}	30.57	1.41	−46.46	46.49	272

%Regularität
g*$_{H,rel}$ = 22
g*$_{C,rel}$ = 40

1,00
0,75
0,25
0,00
n* = 0,00
n* = 0,25
n* = 0,50
n* = 1,0
0,25
0,50
0,75
1,00
Schwarzheit *n**
relative Buntheit *c**

NG590−7, 5 stufige Reihen für konstanten CIELAB Buntton 137/360 = 0.38 (links)

Ausgabe: Farbmetrisches Fernseh-Licht-System TLS18

für Buntton *h* = lab*h = 137/360 = 0.38*
*lab*tch* und *lab*nch*

D65: Buntton L
LCH*Ma: 84 108 137
olv*Ma: 0.0 1.0 0.0

Dreiecks-Helligkeit *t**

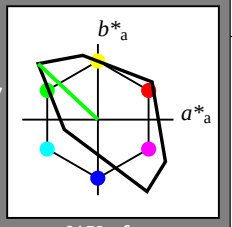

%Umfang
u*$_{rel}$ = 118

TLS18; adaptierte CIELAB-Daten

	L*=L*a	a*a	b*a	C*ab,a	h*ab,a
O_{Ma}	52.76	71.63	49.88	87.29	35
Y_{Ma}	92.74	−20.02	84.97	87.3	103
L_{Ma}	84.0	−78.98	73.94	108.2	137
C_{Ma}	87.14	−44.41	−13.11	46.32	196
V_{Ma}	35.47	64.92	−95.06	115.12	304
M_{Ma}	59.01	89.33	−55.67	105.26	328
N_{Ma}	18.01	0.0	0.0	0.0	0
W_{Ma}	95.41	0.0	0.0	0.0	0
R_{CIE}	39.92	58.74	27.99	65.07	25
J_{CIE}	81.26	−2.88	71.56	71.62	92
G_{CIE}	52.23	−42.41	13.6	44.55	162
B_{CIE}	30.57	1.41	−46.46	46.49	272

%Regularität
g*$_{H,rel}$ = 22
g*$_{C,rel}$ = 40

n* = 0,00
n* = 0,25
n* = 0,50
n* = 1,0
0,25
0,50
0,75
1,00
Schwarzheit *n**
relative Buntheit *c**

5 stufige Reihen für konstanten CIELAB Buntton 137/360 = 0.38 (rechts)

BAM-Prüfvorlage NG59; Farbmetrik-Systeme ORS18 & ORS18 input: *olv* setrgbcolor*
D65: 2 Koordinatendaten; 5stufige Farbreihen für 10 Bunttöne output: *Startup (S) data dependend*

Eingabe: Farbmetrisches Fernseh-Licht-System TLS18

für Buntton *h* = lab*h = 196/360 = 0.546*
*lab*tch* und *lab*nch*

D65: Buntton C
LCH*Ma: 87 46 196
olv*Ma: 0.0 1.0 1.0

Dreiecks-Helligkeit *t**

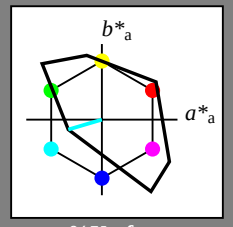

%Umfang
u*$_{rel}$ = 118

TLS18; adaptierte CIELAB-Daten

	L*=L*$_a$	a*$_a$	b*$_a$	C*$_{ab,a}$	h*$_{ab,a}$
O$_{Ma}$	52.76	71.63	49.88	87.29	35
Y$_{Ma}$	92.74	−20.02	84.97	87.3	103
L$_{Ma}$	84.0	−78.98	73.94	108.2	137
C$_{Ma}$	87.14	−44.41	−13.11	46.32	196
V$_{Ma}$	35.47	64.92	−95.06	115.12	304
M$_{Ma}$	59.01	89.33	−55.67	105.26	328
N$_{Ma}$	18.01	0.0	0.0	0.0	0
W$_{Ma}$	95.41	0.0	0.0	0.0	0
R$_{CIE}$	39.92	58.74	27.99	65.07	25
J$_{CIE}$	81.26	−2.88	71.56	71.62	92
G$_{CIE}$	52.23	−42.41	13.6	44.55	162
B$_{CIE}$	30.57	1.41	−46.46	46.49	272

%Regularität
g*$_{H,rel}$ = 22
g*$_{C,rel}$ = 40

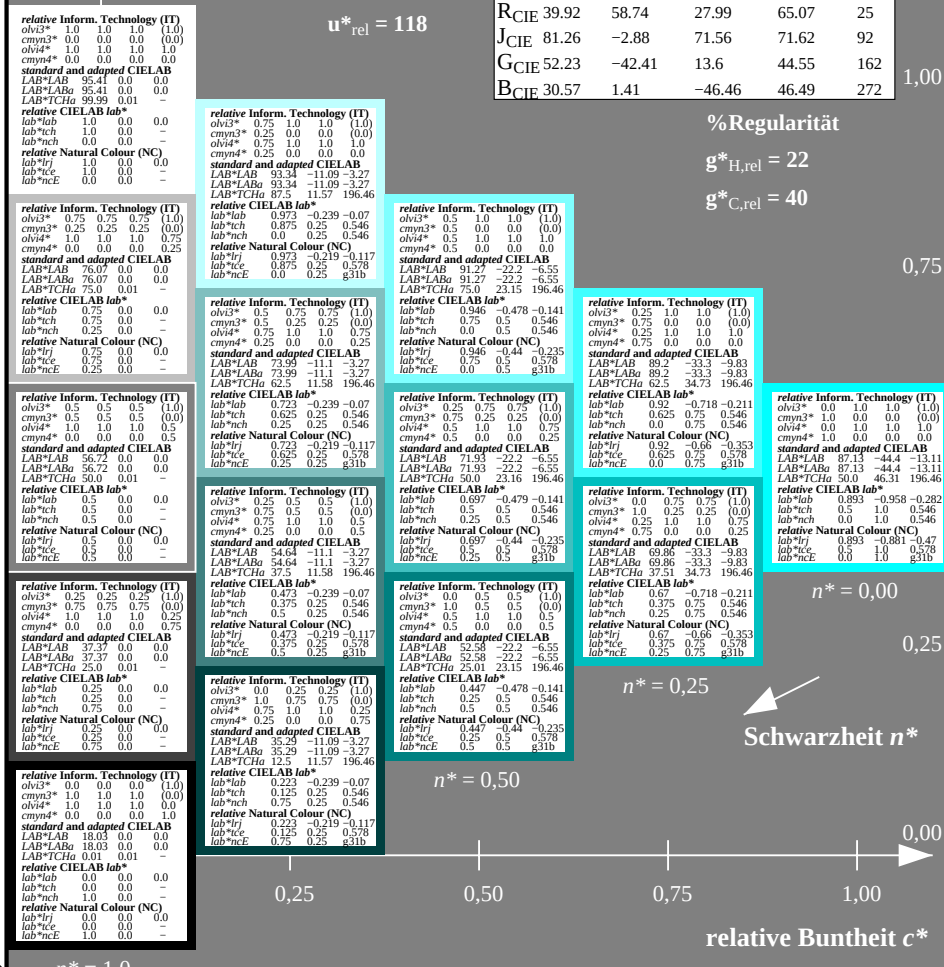

Ausgabe: Farbmetrisches Fernseh-Licht-System TLS18

für Buntton *h* = lab*h = 196/360 = 0.546*
*lab*tch* und *lab*nch*

D65: Buntton C
LCH*Ma: 87 46 196
olv*Ma: 0.0 1.0 1.0

Dreiecks-Helligkeit *t**

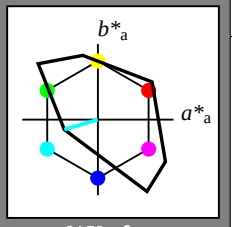

%Umfang
u*$_{rel}$ = 118

TLS18; adaptierte CIELAB-Daten

	L*=L*$_a$	a*$_a$	b*$_a$	C*$_{ab,a}$	h*$_{ab,a}$
O$_{Ma}$	52.76	71.63	49.88	87.29	35
Y$_{Ma}$	92.74	−20.02	84.97	87.3	103
L$_{Ma}$	84.0	−78.98	73.94	108.2	137
C$_{Ma}$	87.14	−44.41	−13.11	46.32	196
V$_{Ma}$	35.47	64.92	−95.06	115.12	304
M$_{Ma}$	59.01	89.33	−55.67	105.26	328
N$_{Ma}$	18.01	0.0	0.0	0.0	0
W$_{Ma}$	95.41	0.0	0.0	0.0	0
R$_{CIE}$	39.92	58.74	27.99	65.07	25
J$_{CIE}$	81.26	−2.88	71.56	71.62	92
G$_{CIE}$	52.23	−42.41	13.6	44.55	162
B$_{CIE}$	30.57	1.41	−46.46	46.49	272

%Regularität
g*$_{H,rel}$ = 22
g*$_{C,rel}$ = 40

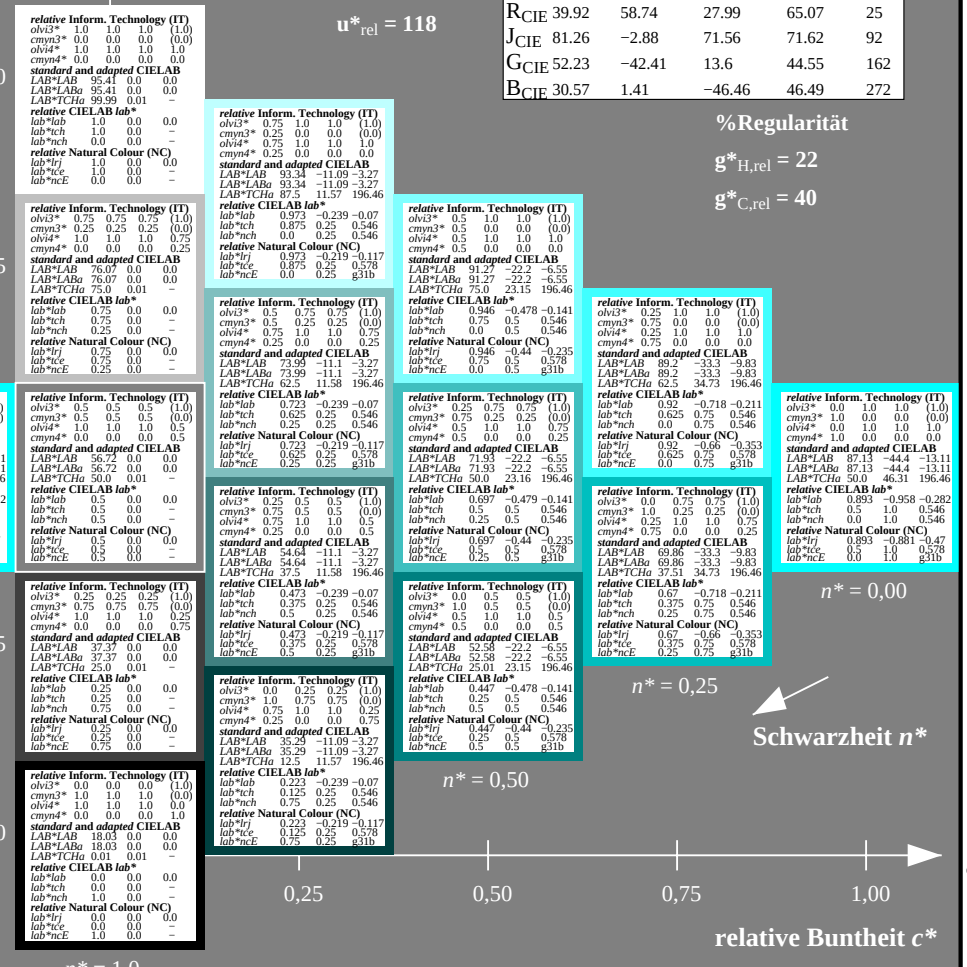

NG590−7, 5 stufige Reihen für konstanten CIELAB Buntton 196/360 = 0.546 (links)

5 stufige Reihen für konstanten CIELAB Buntton 196/360 = 0.546 (rechts)

Eingabe: Farbmetrisches Fernseh-Licht-System TLS18

für Buntton *h* = lab*h = 304/360 = 0.845*
*lab*tch* und *lab*nch*

D65: Buntton V
LCH*Ma: 35 115 304
olv*Ma: 0.0 0.0 1.0

Dreiecks-Helligkeit *t**

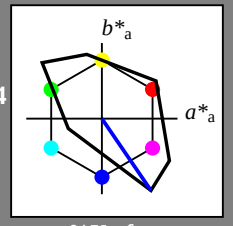

%Umfang

u*$_{rel}$ = 118

TLS18; adaptierte CIELAB-Daten

	$L^*=L^*_a$	a^*_a	b^*_a	$C^*_{ab,a}$	$h^*_{ab,a}$
O_{Ma}	52.76	71.63	49.88	87.29	35
Y_{Ma}	92.74	−20.02	84.97	87.3	103
L_{Ma}	84.0	−78.98	73.94	108.2	137
C_{Ma}	87.14	−44.41	−13.11	46.32	196
V_{Ma}	35.47	64.92	−95.06	115.12	304
M_{Ma}	59.01	89.33	−55.67	105.26	328
N_{Ma}	18.01	0.0	0.0	0.0	0
W_{Ma}	95.41	0.0	0.0	0.0	0
R_{CIE}	39.92	58.74	27.99	65.07	25
J_{CIE}	81.26	−2.88	71.56	71.62	92
G_{CIE}	52.23	−42.41	13.6	44.55	162
B_{CIE}	30.57	1.41	−46.46	46.49	272

%Regularität

g*$_{H,rel}$ = 22

g*$_{C,rel}$ = 40

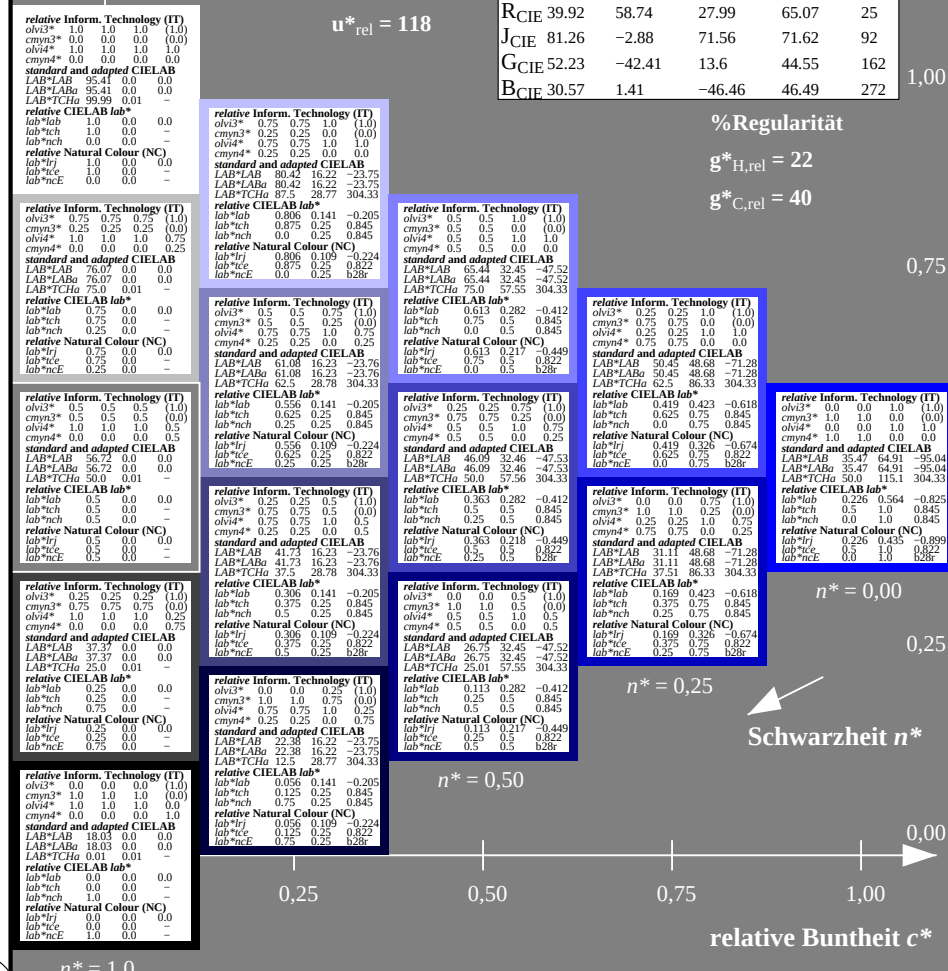

Ausgabe: Farbmetrisches Fernseh-Licht-System TLS18

für Buntton *h* = lab*h = 304/360 = 0.845*
*lab*tch* und *lab*nch*

D65: Buntton V
LCH*Ma: 35 115 304
olv*Ma: 0.0 0.0 1.0

Dreiecks-Helligkeit *t**

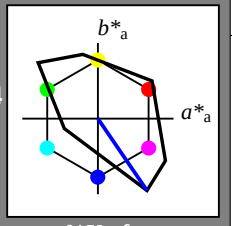

%Umfang

u*$_{rel}$ = 118

TLS18; adaptierte CIELAB-Daten

	$L^*=L^*_a$	a^*_a	b^*_a	$C^*_{ab,a}$	$h^*_{ab,a}$
O_{Ma}	52.76	71.63	49.88	87.29	35
Y_{Ma}	92.74	−20.02	84.97	87.3	103
L_{Ma}	84.0	−78.98	73.94	108.2	137
C_{Ma}	87.14	−44.41	−13.11	46.32	196
V_{Ma}	35.47	64.92	−95.06	115.12	304
M_{Ma}	59.01	89.33	−55.67	105.26	328
N_{Ma}	18.01	0.0	0.0	0.0	0
W_{Ma}	95.41	0.0	0.0	0.0	0
R_{CIE}	39.92	58.74	27.99	65.07	25
J_{CIE}	81.26	−2.88	71.56	71.62	92
G_{CIE}	52.23	−42.41	13.6	44.55	162
B_{CIE}	30.57	1.41	−46.46	46.49	272

%Regularität

g*$_{H,rel}$ = 22

g*$_{C,rel}$ = 40

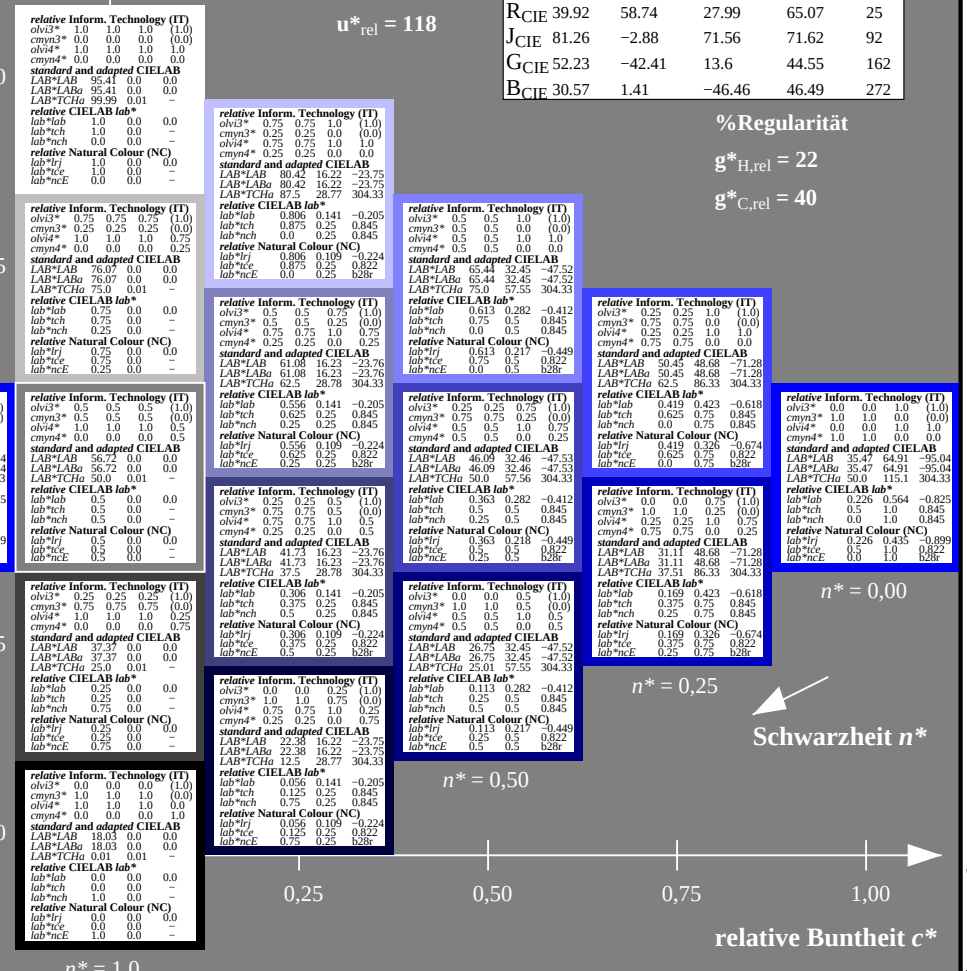

NG590−7, 5 stufige Reihen für konstanten CIELAB Buntton 304/360 = 0.845 (links) 5 stufige Reihen für konstanten CIELAB Buntton 304/360 = 0.845 (rechts)

Eingabe: Farbmetrisches Fernseh-Licht-System TLS18

für Buntton *h* = lab*h = 328/360 = 0.911*
*lab*tch* und *lab*nch*

D65: Buntton M
LCH*Ma: 59 105 328
olv*Ma: 1.0 0.0 1.0

Dreiecks-Helligkeit *t**

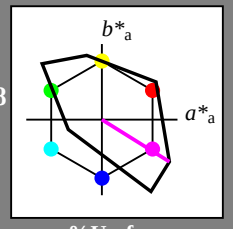

%Umfang

u*$_{rel}$ = 118

TLS18; adaptierte CIELAB-Daten

	$L^*=L^*_a$	a^*_a	b^*_a	$C^*_{ab,a}$	$h^*_{ab,a}$
O_{Ma}	52.76	71.63	49.88	87.29	35
Y_{Ma}	92.74	−20.02	84.97	87.3	103
L_{Ma}	84.0	−78.98	73.94	108.2	137
C_{Ma}	87.14	−44.41	−13.11	46.32	196
V_{Ma}	35.47	64.92	−95.06	115.12	304
M_{Ma}	59.01	89.33	−55.67	105.26	328
N_{Ma}	18.01	0.0	0.0	0.0	0
W_{Ma}	95.41	0.0	0.0	0.0	0
R_{CIE}	39.92	58.74	27.99	65.07	25
J_{CIE}	81.26	−2.88	71.56	71.62	92
G_{CIE}	52.23	−42.41	13.6	44.55	162
B_{CIE}	30.57	1.41	−46.46	46.49	272

%Regularität

g*$_{H,rel}$ = 22

g*$_{C,rel}$ = 40

1,00

0,75

0,25

0,00

n* = 1,0 n* = 0,50 n* = 0,25 n* = 0,00

0,25 0,50 0,75 1,00

Schwarzheit *n**

relative Buntheit *c**

Ausgabe: Farbmetrisches Fernseh-Licht-System TLS18

für Buntton *h* = lab*h = 328/360 = 0.911*
*lab*tch* und *lab*nch*

D65: Buntton M
LCH*Ma: 59 105 328
olv*Ma: 1.0 0.0 1.0

Dreiecks-Helligkeit *t**

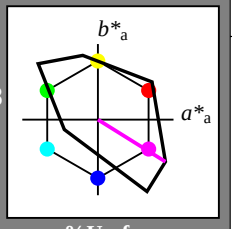

%Umfang

u*$_{rel}$ = 118

TLS18; adaptierte CIELAB-Daten

	$L^*=L^*_a$	a^*_a	b^*_a	$C^*_{ab,a}$	$h^*_{ab,a}$
O_{Ma}	52.76	71.63	49.88	87.29	35
Y_{Ma}	92.74	−20.02	84.97	87.3	103
L_{Ma}	84.0	−78.98	73.94	108.2	137
C_{Ma}	87.14	−44.41	−13.11	46.32	196
V_{Ma}	35.47	64.92	−95.06	115.12	304
M_{Ma}	59.01	89.33	−55.67	105.26	328
N_{Ma}	18.01	0.0	0.0	0.0	0
W_{Ma}	95.41	0.0	0.0	0.0	0
R_{CIE}	39.92	58.74	27.99	65.07	25
J_{CIE}	81.26	−2.88	71.56	71.62	92
G_{CIE}	52.23	−42.41	13.6	44.55	162
B_{CIE}	30.57	1.41	−46.46	46.49	272

%Regularität

g*$_{H,rel}$ = 22

g*$_{C,rel}$ = 40

1,00

0,75

0,25

0,00

n* = 1,0 n* = 0,50 n* = 0,25 n* = 0,00

0,25 0,50 0,75 1,00

Schwarzheit *n**

relative Buntheit *c**

NG590−7, 5 stufige Reihen für konstanten CIELAB Buntton 328/360 = 0.911 (links)

5 stufige Reihen für konstanten CIELAB Buntton 328/360 = 0.911 (rechts)

Eingabe: Farbmetrisches Fernseh-Licht-System TLS18

für Buntton *h* = lab*h = 25/360 = 0.071*
*lab*tch* und *lab*nch*

D65: Buntton R
LCH*Ma: 54 82 25
olv*Ma: 1.0 0.0 0.14

Dreiecks-Helligkeit *t**

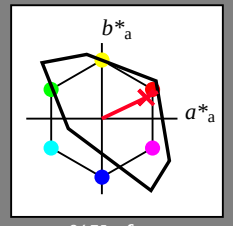

%Umfang

u*$_{rel}$ = 118

TLS18; adaptierte CIELAB-Daten

	$L^*=L^*_a$	a^*_a	b^*_a	$C^*_{ab,a}$	$h^*_{ab,a}$
O_{Ma}	52.76	71.63	49.88	87.29	35
Y_{Ma}	92.74	−20.02	84.97	87.3	103
L_{Ma}	84.0	−78.98	73.94	108.2	137
C_{Ma}	87.14	−44.41	−13.11	46.32	196
V_{Ma}	35.47	64.92	−95.06	115.12	304
M_{Ma}	59.01	89.33	−55.67	105.26	328
N_{Ma}	18.01	0.0	0.0	0.0	0
W_{Ma}	95.41	0.0	0.0	0.0	0
R_{CIE}	39.92	58.74	27.99	65.07	25
J_{CIE}	81.26	−2.88	71.56	71.62	92
G_{CIE}	52.23	−42.41	13.6	44.55	162
B_{CIE}	30.57	1.41	−46.46	46.49	272

%Regularität

g*$_{H,rel}$ = 22

g*$_{C,rel}$ = 40

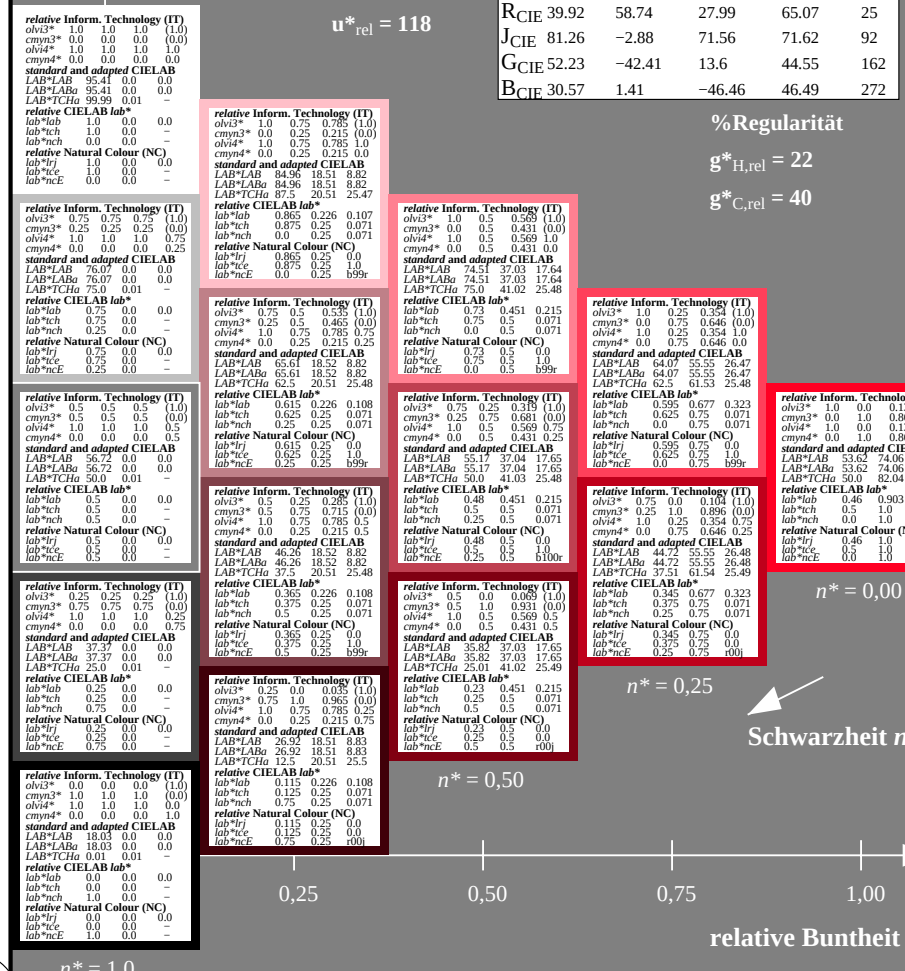

Ausgabe: Farbmetrisches Fernseh-Licht-System TLS18

für Buntton *h* = lab*h = 25/360 = 0.071*
*lab*tch* und *lab*nch*

D65: Buntton R
LCH*Ma: 54 82 25
olv*Ma: 1.0 0.0 0.14

Dreiecks-Helligkeit *t**

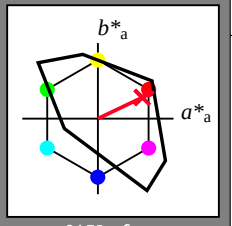

%Umfang

u*$_{rel}$ = 118

TLS18; adaptierte CIELAB-Daten

	$L^*=L^*_a$	a^*_a	b^*_a	$C^*_{ab,a}$	$h^*_{ab,a}$
O_{Ma}	52.76	71.63	49.88	87.29	35
Y_{Ma}	92.74	−20.02	84.97	87.3	103
L_{Ma}	84.0	−78.98	73.94	108.2	137
C_{Ma}	87.14	−44.41	−13.11	46.32	196
V_{Ma}	35.47	64.92	−95.06	115.12	304
M_{Ma}	59.01	89.33	−55.67	105.26	328
N_{Ma}	18.01	0.0	0.0	0.0	0
W_{Ma}	95.41	0.0	0.0	0.0	0
R_{CIE}	39.92	58.74	27.99	65.07	25
J_{CIE}	81.26	−2.88	71.56	71.62	92
G_{CIE}	52.23	−42.41	13.6	44.55	162
B_{CIE}	30.57	1.41	−46.46	46.49	272

%Regularität

g*$_{H,rel}$ = 22

g*$_{C,rel}$ = 40

NG590−7, 5 stufige Reihen für konstanten CIELAB Buntton 25/360 = 0.071 (links)

5 stufige Reihen für konstanten CIELAB Buntton 25/360 = 0.071 (rechts)

Eingabe: Farbmetrisches Fernseh-Licht-System TLS18

für Buntton *h* = lab*h = 92/360 = 0.256*
*lab*tch* und *lab*nch*

D65: Buntton J
LCH*Ma: 85 79 92
olv*Ma: 1.0 0.82 0.0

Dreiecks-Helligkeit *t**

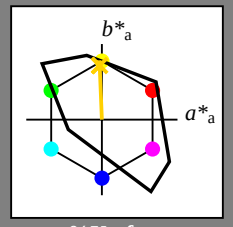

%Umfang

u*rel = 118

TLS18; adaptierte CIELAB-Daten

	L*=L*a	a*a	b*a	C*ab,a	h*ab,a
OMa	52.76	71.63	49.88	87.29	35
YMa	92.74	−20.02	84.97	87.3	103
LMa	84.0	−78.98	73.94	108.2	137
CMa	87.14	−44.41	−13.11	46.32	196
VMa	35.47	64.92	−95.06	115.12	304
MMa	59.01	89.33	−55.67	105.26	328
NMa	18.01	0.0	0.0	0.0	0
WMa	95.41	0.0	0.0	0.0	0
RCIE	39.92	58.74	27.99	65.07	25
JCIE	81.26	−2.88	71.56	71.62	92
GCIE	52.23	−42.41	13.6	44.55	162
BCIE	30.57	1.41	−46.46	46.49	272

1,00

%Regularität

g*H,rel = 22

g*C,rel = 40

0,75

0,25

0,00

n* = 0,00

n* = 0,25

n* = 0,50

n* = 1,0

Schwarzheit *n**

0,25 0,50 0,75 1,00

relative Buntheit *c**

NG590−7, 5 stufige Reihen für konstanten CIELAB Buntton 92/360 = 0.256 (links)

Ausgabe: Farbmetrisches Fernseh-Licht-System TLS18

für Buntton *h* = lab*h = 92/360 = 0.256*
*lab*tch* und *lab*nch*

D65: Buntton J
LCH*Ma: 85 79 92
olv*Ma: 1.0 0.82 0.0

Dreiecks-Helligkeit *t**

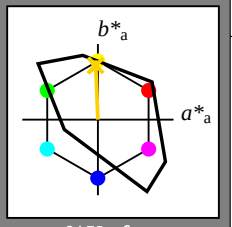

%Umfang

u*rel = 118

TLS18; adaptierte CIELAB-Daten

	L*=L*a	a*a	b*a	C*ab,a	h*ab,a
OMa	52.76	71.63	49.88	87.29	35
YMa	92.74	−20.02	84.97	87.3	103
LMa	84.0	−78.98	73.94	108.2	137
CMa	87.14	−44.41	−13.11	46.32	196
VMa	35.47	64.92	−95.06	115.12	304
MMa	59.01	89.33	−55.67	105.26	328
NMa	18.01	0.0	0.0	0.0	0
WMa	95.41	0.0	0.0	0.0	0
RCIE	39.92	58.74	27.99	65.07	25
JCIE	81.26	−2.88	71.56	71.62	92
GCIE	52.23	−42.41	13.6	44.55	162
BCIE	30.57	1.41	−46.46	46.49	272

%Regularität

g*H,rel = 22

g*C,rel = 40

n* = 0,00

n* = 0,25

n* = 0,50

n* = 1,0

Schwarzheit *n**

0,25 0,50 0,75 1,00

relative Buntheit *c**

5 stufige Reihen für konstanten CIELAB Buntton 92/360 = 0.256 (rechts)

Eingabe: Farbmetrisches Fernseh-Licht-System TLS18

für Buntton *h* = lab*h = 162/360 = 0.451*
*lab*tch* und *lab*nch*

D65: Buntton G
LCH*Ma: 86 60 162
olv*Ma: 0.0 1.0 0.64

Dreiecks-Helligkeit *t**

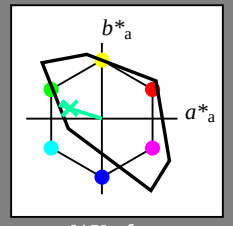

%Umfang

u*$_{rel}$ = 118

TLS18; adaptierte CIELAB-Daten

	L*=L*a	a*a	b*a	C*ab,a	h*ab,a
O_{Ma}	52.76	71.63	49.88	87.29	35
Y_{Ma}	92.74	−20.02	84.97	87.3	103
L_{Ma}	84.0	−78.98	73.94	108.2	137
C_{Ma}	87.14	−44.41	−13.11	46.32	196
V_{Ma}	35.47	64.92	−95.06	115.12	304
M_{Ma}	59.01	89.33	−55.67	105.26	328
N_{Ma}	18.01	0.0	0.0	0.0	0
W_{Ma}	95.41	0.0	0.0	0.0	0
R_{CIE}	39.92	58.74	27.99	65.07	25
J_{CIE}	81.26	−2.88	71.56	71.62	92
G_{CIE}	52.23	−42.41	13.6	44.55	162
B_{CIE}	30.57	1.41	−46.46	46.49	272

%Regularität

g*$_{H,rel}$ = 22

g*$_{C,rel}$ = 40

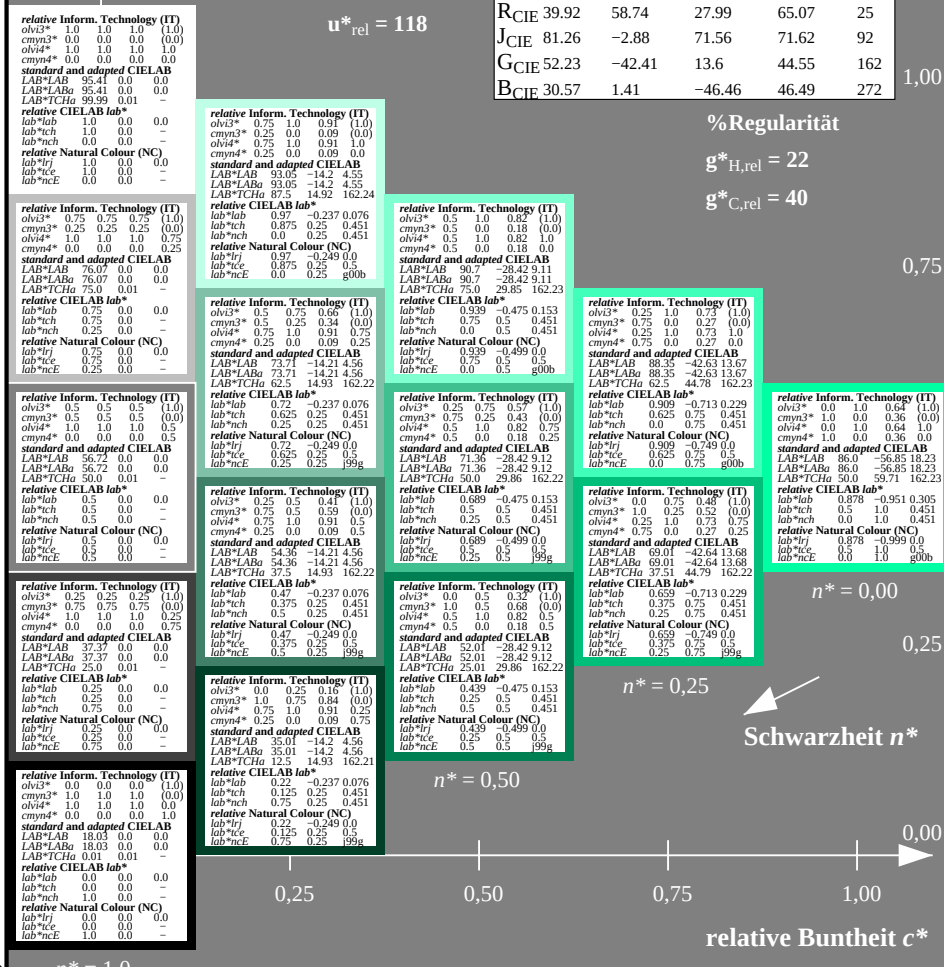

Ausgabe: Farbmetrisches Fernseh-Licht-System TLS18

für Buntton *h* = lab*h = 162/360 = 0.451*
*lab*tch* und *lab*nch*

D65: Buntton G
LCH*Ma: 86 60 162
olv*Ma: 0.0 1.0 0.64

Dreiecks-Helligkeit *t**

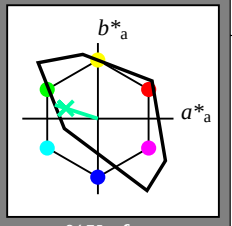

%Umfang

u*$_{rel}$ = 118

TLS18; adaptierte CIELAB-Daten

	L*=L*a	a*a	b*a	C*ab,a	h*ab,a
O_{Ma}	52.76	71.63	49.88	87.29	35
Y_{Ma}	92.74	−20.02	84.97	87.3	103
L_{Ma}	84.0	−78.98	73.94	108.2	137
C_{Ma}	87.14	−44.41	−13.11	46.32	196
V_{Ma}	35.47	64.92	−95.06	115.12	304
M_{Ma}	59.01	89.33	−55.67	105.26	328
N_{Ma}	18.01	0.0	0.0	0.0	0
W_{Ma}	95.41	0.0	0.0	0.0	0
R_{CIE}	39.92	58.74	27.99	65.07	25
J_{CIE}	81.26	−2.88	71.56	71.62	92
G_{CIE}	52.23	−42.41	13.6	44.55	162
B_{CIE}	30.57	1.41	−46.46	46.49	272

%Regularität

g*$_{H,rel}$ = 22

g*$_{C,rel}$ = 40

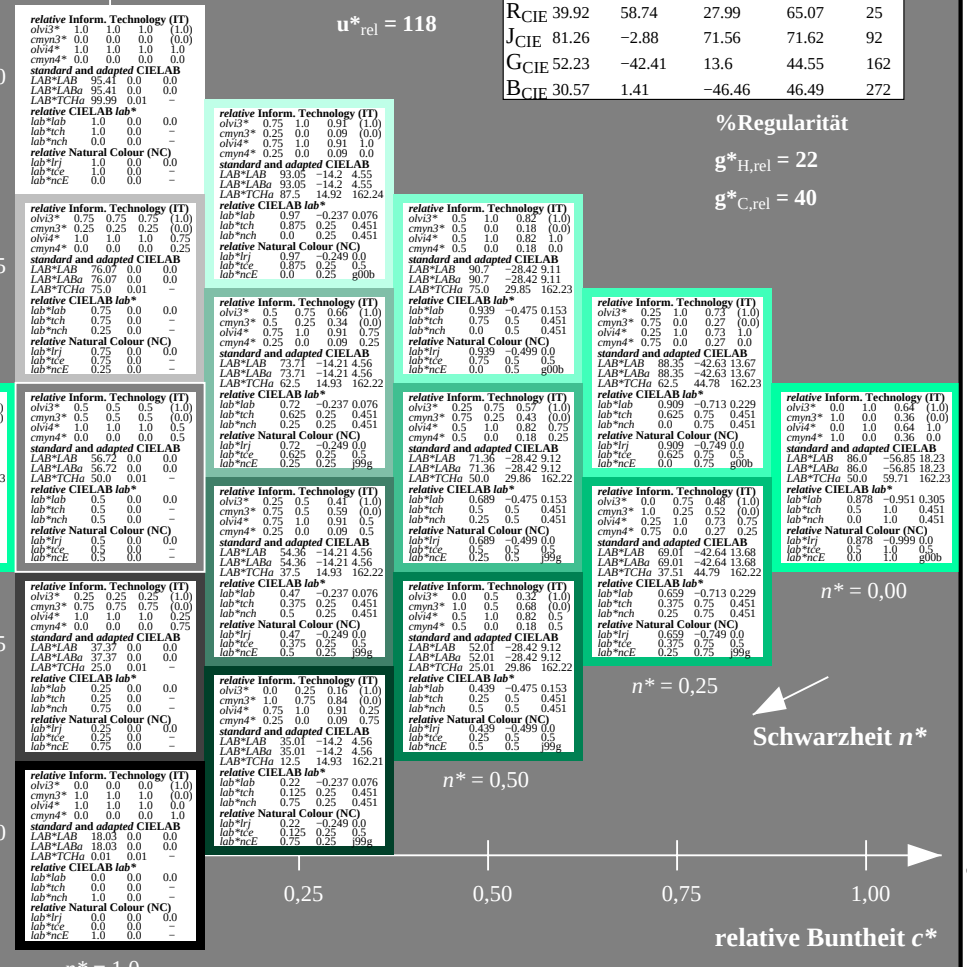

NG590−7, 5 stufige Reihen für konstanten CIELAB Buntton 162/360 = 0.451 (links)

5 stufige Reihen für konstanten CIELAB Buntton 162/360 = 0.451 (rechts)

Eingabe: Farbmetrisches Fernseh-Licht-System TLS18

für Buntton *h* = lab*h = 272/360 = 0.755*
*lab*tch* und *lab*nch*

D65: Buntton B
LCH*Ma: 65 48 272
olv*Ma: 0.0 0.58 1.0

Dreiecks-Helligkeit *t**

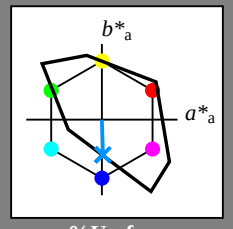

%Umfang

u*$_{rel}$ = 118

TLS18; adaptierte CIELAB-Daten

	$L^*=L^*_a$	a^*_a	b^*_a	$C^*_{ab,a}$	$h^*_{ab,a}$
O_{Ma}	52.76	71.63	49.88	87.29	35
Y_{Ma}	92.74	−20.02	84.97	87.3	103
L_{Ma}	84.0	−78.98	73.94	108.2	137
C_{Ma}	87.14	−44.41	−13.11	46.32	196
V_{Ma}	35.47	64.92	−95.06	115.12	304
M_{Ma}	59.01	89.33	−55.67	105.26	328
N_{Ma}	18.01	0.0	0.0	0.0	0
W_{Ma}	95.41	0.0	0.0	0.0	0
R_{CIE}	39.92	58.74	27.99	65.07	25
J_{CIE}	81.26	−2.88	71.56	71.62	92
G_{CIE}	52.23	−42.41	13.6	44.55	162
B_{CIE}	30.57	1.41	−46.46	46.49	272

%Regularität

g*$_{H,rel}$ = 22

g*$_{C,rel}$ = 40

1,00
0,75
0,25
0,00

n = 1,0*
n = 0,50*
n = 0,25*
n = 0,00*

0,25 0,50 0,75 1,00

Schwarzheit *n**

relative Buntheit *c**

NG590−7, 5 stufige Reihen für konstanten CIELAB Buntton 272/360 = 0.755 (links)

Ausgabe: Farbmetrisches Fernseh-Licht-System TLS18

für Buntton *h* = lab*h = 272/360 = 0.755*
*lab*tch* und *lab*nch*

D65: Buntton B
LCH*Ma: 65 48 272
olv*Ma: 0.0 0.58 1.0

Dreiecks-Helligkeit *t**

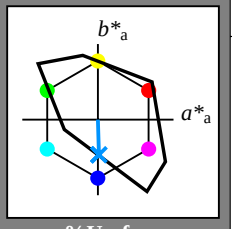

%Umfang

u*$_{rel}$ = 118

TLS18; adaptierte CIELAB-Daten

	$L^*=L^*_a$	a^*_a	b^*_a	$C^*_{ab,a}$	$h^*_{ab,a}$
O_{Ma}	52.76	71.63	49.88	87.29	35
Y_{Ma}	92.74	−20.02	84.97	87.3	103
L_{Ma}	84.0	−78.98	73.94	108.2	137
C_{Ma}	87.14	−44.41	−13.11	46.32	196
V_{Ma}	35.47	64.92	−95.06	115.12	304
M_{Ma}	59.01	89.33	−55.67	105.26	328
N_{Ma}	18.01	0.0	0.0	0.0	0
W_{Ma}	95.41	0.0	0.0	0.0	0
R_{CIE}	39.92	58.74	27.99	65.07	25
J_{CIE}	81.26	−2.88	71.56	71.62	92
G_{CIE}	52.23	−42.41	13.6	44.55	162
B_{CIE}	30.57	1.41	−46.46	46.49	272

%Regularität

g*$_{H,rel}$ = 22

g*$_{C,rel}$ = 40

n = 1,0*
n = 0,50*
n = 0,25*
n = 0,00*

0,25 0,50 0,75 1,00

Schwarzheit *n**

relative Buntheit *c**

5 stufige Reihen für konstanten CIELAB Buntton 272/360 = 0.755 (rechts)